

PAPER DETAILS

TITLE: UZAKTAN ALGILAMA SISTEMI KULLANILARAK KOYUN YUMAGI (*Festuca ovina L.*)
BITKISINDE FOSFOR VE POTASYUM KONSANTRASYONLARININ BELIRLENME OLANAKLARI
AUTHORS: Yasar ÖZYIGIT,Mehmet BILGEN
PAGES: 63-69
ORIGINAL PDF URL: <https://dergipark.org.tr/tr/download/article-file/187842>

UZAKTAN ALGILAMA SİSTEMİ KULLANILARAK KOYUN YUMAŞI (*Festuca ovina* L.) BITKİNDE FOSFOR VE POTASYUM KONSANTRASYONLARININ BELİRLENME OLANAKLARI

Yaşar ÖZYİĞİT^{1*} Mehmet BİLGEN²

¹Akdeniz Üniversitesi, Korkuteli Meslek Yüksekokulu, Korkuteli, Antalya

²Akdeniz Üniversitesi, Ziraat Fakültesi, Tarla Bitkileri Bölümü, Antalya

*ozyigit@akdeniz.edu.tr

Geliş Tarihi: 25.03.2013

Kabul Tarihi: 09.01.2014

ÖZET: Bu çalışma, koyun yumağı (*Festuca ovina*) bitkisinde spektral yansımıya değerleri kullanılarak fosfor ve potasyum seviyelerinin belirlenebilirliğini araştırmak amacıyla tarla ve sera koşullarında yürütülmüştür. Spektral yansımıya ölçümleri için elektromanyetik spektrumun 325-1075 nm dalga boyları arasında yansımıya ölçümleri yapabilen taşınabilir bir spektroradyometre kullanılmıştır. Çalışmada parsellere ve saksılara 0, 20 ve 40 kg da⁻¹ dozlarında fosfor ve potasyum uygulanmıştır. Spektral yansımıya ölçümleri hem kanopi hem de tek yaprak düzeyinde yapılmıştır. Çalışmadan elde edilen sonuçlara göre fosfor ve potasyum düzeylerindeki değişimler spektrumun mavi (400-500 nm) ve yakın kızıl ötesi (700-900 nm) bölgelerindeki yansımaları etkilemektedir. Sonuçlar, koyun yumağı bitkisinde fosfor ve potasyum konsantrasyonlarının tahmininde spektral yansımıya değerlerinin (özellikle mavi ve yakıncızıl ötesi bölgeler) kullanılabilceğini göstermiştir.

Anahtar Sözcükler: Spektral yansımıya, uzaktan algılama, fosfor, potasyum, koyun yumağı

THE POSSIBILITY OF DETERMINE PHOSPHORUS AND POTASSIUM CONCENTRATIONS IN SHEEP FESCUE (*Festuca ovina* L.) USING REMOTE SENSING SYSTEM

ABSTRACT: This study was carried out to determine phosphorus and potassium levels in sheep fescue (*Festuca ovina* L.) using spectral reflectance data in field and greenhouse conditions. Spectral reflectance measurements were undertaken using a portable spectroradiometer measuring the wavelength range of 325-1075 nm of the electromagnetic spectrum. The treatments consisted of different concentrations (0, 20 and 40 kg da⁻¹) of phosphorus and potassium for each pots and plots. Spectral reflectance values were measured in both canopy level and single-leaf. According to result of the study, the changes in phosphorus and potassium levels were affected reflectance values of blue and near infrared region of spectrum which located in the range of 400-500 nm and 700-900 nm, respectively. The results have shown that spectral reflectance data (especially blue and near infrared region) could be used to estimate the phosphorus and potassium concentration in sheep fescue.

Keywords: Spectral reflectance, remote sensing, phosphorus, potassium, sheep fescue

1. GİRİŞ

Bitkiler karbon (C), hidrojen (H) ve oksijen (O)'den oluşmuşlardır. Ancak, yaşamlarını sürdürmek için, yapısal dokuların bir parçası olan ve kimyasal reaksiyonlara katılan bitki besin elementlerine ihtiyaç duymaktadır (Whitehead, 2000). Tarımsal faaliyetlerde istenilen kalitede ve mikarda üretim yapabilmek için bitki besin elementleri mutlak gereklidir. Besin elementleri bitkiler tarafından yeterince alınamadığı takdirde ürünün miktar ve kalitesi olumsuz yönde etkilenir. Bu elementlerin toprakta yeterli düzeyde olmamaları, yavaş biçimde elverişli olmaları veya diğer besin elementleri ile dengeli olmamaları gibi durumlarda bitki büyümesi yavaşlar (Bakırçioğlu, 2009). Bitkilerin sağlıklı gelişimi için bünyelerine almaları gereken 17 farklı element bulunmaktadır. Fosfor ve potasyum bu elementlerin en önemlilerinden ikisidir.

Bitkisel üretimde fosfor makro bitki besin elementi olarak değerlendirilmekte ve bitkilerin verimini artırmak için fosforlu gübreler yoğun bir şekilde

kullanılmaktadır (Saltalı, 2004). Fosfor bitkide çok önemli organik bileşiklerin yapısında bulunur ki bu bileşiklerden en önemli enerji transferi yapan ATP (Adenozin tri fosfat)'dır. Bitkide genetik özellikleri belirleyen DNA ve RNA'nın yapısında da bulunan fosfor bu nedenlerle bitki besinleri arasında önemli bir yere sahiptir (Aktaş, 2004).

Potasyum ise bitkide belli enzimlerin aktivatörü veya katalizörür. Kök gelişmesinin sağlıklı olmasını ve tüm bitkinin sağlık ve direncini etkiler. Organik tuzlar şeklinde taşınır veya depolanır, stoma hücrelerinin koruyucu bekçisi olarak turgoru kontrol eder. Aynı zamanda floemde magnezyumun taşımımını ve fotosentezi artırır. Potasyum bitkide son derece hareketli element olduğu için yetersizlik belirtileri önce yaşı büyümeye noktalarında başlar. Potasyum eksikliğinin tipik belirtisi yaprak kenarlarında sarıklorotik ve ölünekrotik bölgeler görülmesidir (Yıldız ve Bilgin, 2008).

Bitkilerde meydana gelen olayların iyi bir şekilde anlaşılabilmesi için bitkilerin içerdiği maddelerin iyi bir şekilde bilinmesi gereklidir (Kacar, 1977). Bitkilerde

bir besin elementinin eksikliği varsa ve bu duruma geç müdahale edilirse, bu durum verim ve kalitede düşümlere neden olmaktadır (Kruse ve ark., 2006). Bu nedenle bitkilerdeki besin elementlerinin tespit edilmesi ve bir noksantalıksız varsa anında müdahale edilmesi önemlidir. Ancak bitki içerikleri (örneğin besin elementleri) hakkında bilgi elde etmek amacıyla yapılan laboratuar analizleri uzun zaman isteyen pahalı yöntemlerdir (Kokaly ve Clark, 1999; Graeff ve ark., 2001; Li ve ark., 2006; Zhao ve ark., 2007).

Uzaktan algılama ile yaprak biyokimyasal içeriğinin belirlenmesi bu olumsuzlukları ortadan kaldırılmaktadır (Mutanga ve ark., 2004). Objelere fiziksel temasta bulunmadan herhangi bir uzaklıktan yapılan ölçümlerle objeler hakkında bilgi elde etmeyi sağlayan uzaktan algılama sistemleri son yıllarda tarım ve ormancılık alanlarında geniş ölçüde kullanılmaktadır (Wright ve ark., 2005). Bitki besin elementlerinin noksantalıksız sonucu ortaya çıkan renk değişimleri (özellikle klorozlar) doğrudan doğrula bitkilerin spektral yansımı karakteristiklerini de etkilemektedir (Carter ve Knapp, 2001). Bu durum besin elementlerinin bitkilerdeki durumlarını belirlemek için uzaktan algılama sisteminin kullanılabilceğini göstermektedir.

Bu çalışmada koyun yumağı (*Festuca ovina* L.) bitkisinde spektral yansımı değerleri kullanılarak bitkinin fosfor ve potasyum düzeyleri tahmin edilmeye çalışılmıştır.

Çizelge 1. Azot, fosfor, potasyum dozları ve kombinasyonları

Uy.	N	P	K	Uy.	N	P	K	Uy.	N	P	K
1	0	0	0	10	20	0	0	19	40	0	0
2	0	0	20	11	20	0	20	20	40	0	20
3	0	0	40	12	20	0	40	21	40	0	40
4	0	20	0	13	20	20	0	22	40	20	0
5	0	20	20	14	20	20	20	23	40	20	20
6	0	20	40	15	20	20	40	24	40	20	40
7	0	40	0	16	20	40	0	25	40	40	0
8	0	40	20	17	20	40	20	26	40	40	20
9	0	40	40	18	20	40	40	27	40	40	40

Yansıma ölçümleri başaklanma başlangıcında yapılmış ve ölçümlerde elektromanyetik spektrumun 325-1075 nanometre (nm) dalga boyaları arasında yansıtma ölçümleri yapabilen bir spektroradyometre kullanılmıştır (Castro-Esau ve ark., 2006; Albayrak, 2008). Fakat yansıtma ölçüm sonuçları incelendiğinde 400 nm'nın altındaki ve 900 nm'nın üstündeki dalga boyalarındaki yansıtma değerlerinde aşırı dalgalanmalar görülmüş ve sonuçlar değerlendirilirken 400 ile 900 nm dalga boyaları arasındaki değerler dikkate alınmıştır. Bu durum bazı araştırmacılar tarafından da belirtilmiştir (Han ve Rundquist, 2003; Lin ve Liquan, 2006).

Çalışmada, parsellere ve saksılarda hem kanopi (genel), hem de tek yaprakta yansıtma ölçümleri yapılmış ve ölçümler havanın açık olduğu günlerde saat 10.00 ile 11.30 arasında gerçekleştirilmiştir. Kanopi ölçümlerinde cihazın sensörü ile bitkilerin üst

2. MATERİYAL VE YÖNTEM

Çalışma Antalya'da hem sera hem de tarla koşullarında yürütülmüştür. Materyal olarak buğdaygiller familyasına dahil bir yem ve çim bitkisi olan koyun yumağı (*Festuca ovina* L.) bitkisi kullanılmıştır. Denemenin tarla uygulamaları killi, kuvvetli alkali ve organik maddece düşük bir alanda yapılmış ve denemeler tesadüf blokları deneme desenine göre 3 tekerrürlü olarak kurulmuştur. Parsel büyülükleri yaklaşık 2 m^2 ($1.4\text{m} \times 1.4\text{m}$), blok araları 1.27 m ve bloklar içindeki parsel araları da 1.5 m olacak şekilde ayarlanmıştır. Her blokta 27 adet olmak üzere toplam 81 adet (3 tekerrür*27 uygulama) parsel oluşturulmuştur. Sera denemeleri ise tesadüf parselleri deneme desenine göre yine 3 tekerrürlü olarak kurulmuş ve 22 cm*20 cm ebadında plastik saksılar kullanılmıştır. Saksılar 2:1:1 oranında oluşturulan toprak:torf:perlit karışımı doldurulmuştur.

Çalışmada parsellere ve saksılar 0, 20 ve 40 kg/da fosfor ve potasyum gelecek şekilde sırasıyla Diamonyum fosfat ve Potasyum sülfat gübreleri uygulanmıştır. Parcellere ve saksılar ayrıca Amonyum nitrat (%33'lük) gübresi ile aynı dozlarında azot uygulanmış ve kombinasyonlarla birlikte 27 farklı uygulama yapılmıştır (Çizelge 1). Ekimler sırasında parsellere 7 g saksılarla ise 0.21 g tohum uygulanmıştır.

yüzeyi arasındaki uzaklık parsellerde 1.5 m (Albayrak 2008), saksıda ise 25 cm olarak ayarlanmıştır. 81 saksi ve parselin her birisinde 5 tekrarlamalı olarak yansıtma ölçümleri yapılmış ve her üç ölçümde bir kalibrasyon amacıyla referans panel (spectralon) ölçümlü yapılmıştır (Beeri ve ark., 2007).

Yaprak ölçümleri için her bir parselden ve saksıdan 5'er yaprak tesadüfi olarak seçilmiştir. Ölçüm için plant probe ve leaf clip (yaprak kıskacı) ismi verilen ve spektrometreye bağlanabilen sistemler kullanılmıştır. Yaprak kıskacına zedelemeden sıkıştırılan yapraklarda (NOT: Geniş yapraklı bitkilerde yaprak sıkıştırıldığı cihazın ölçme alanını tamamen kaplar, ancak buğdaygiller gibi dar yapraklılarda tek bir yaprak, alanı tamamen kapamaz ve kenarlardan yansıtma olur. Bu çalışmada alanın kapanması ve kenarlardan yansımmanın önlemesi amacıyla alanı kapatacak kadar yaprak yan yana

kullanılmıştır), yapay ışık kaynağı olarak plant probe'un içerisinde monte edilmiş olan 100 wattlık halojen lamba kullanılarak yansımaya ölçümleri gerçekleştirilmiştir (Delalieux ve ark., 2009). Yaprak ölçümleri gerçekleştirildikten sonra parsellerdeki ve saksılardaki bitkiler biçilmiş ve parsellerdeki bitkilerden 150 gr, saksılardaki bitkilerin ise tamamı kurutma fırınlarında 65°C'de 48 saat bekletilmiştir (Brink ve ark., 2003; Halgerson ve ark., 2004). Örneklerin fosfor ve potasyum analizleri için kuru yakma yöntemi kullanılmıştır (Karaca ve Çimrin, 2002). Ancak yaprak ölçümleri için alınan yapraklarda ayrıca fosfor ve potasyum analizleri yapılmamış ve biçimlerden sonra alınan örneklerin sonuçları kullanılmıştır.

Verilerin istatistik analizi yapılırken her bir dalga boyundaki yansımaya değeri için 5 tekrarlamalı yapılan ölçümlerin ortalaması alınmıştır. MİNİTAB istatistik programında stepwise regresyon analizi kullanılarak yapılan analizde bitkinin fosfor ve potasyum seviyesi ile ilişkili dalga boyları belirlenmiş ve bu dalga boyları kullanılarak regresyon eşitlikleri oluşturulmuştur.

3. BULGULAR

Koyun yumağında yapılan ölçümler sonucu elde edilen verilere regresyon analizleri uygulanarak regresyon eşitlikleri oluşturulmuş ve bu eşitlikler için

Çizelge 2. Koyun yumağında tarla ve sera koşullarında fosfor (P) düzeyleri için regresyon eşitlikleri ve R^2 değerleri

		Sabit	Katsayı x Dalga Boyu Yansıma Değerleri	R^2
Tarla	Genel	0.108	+ (29.7xY ₆₇₆) + (-29.9xY ₆₇₁)	0.16**
	Yaprak	0.297	+ (-1.62xY ₈₉₃) + (-4.54xY ₈₆₈) + (5.72xY ₈₆₁) + (-3.73xY ₄₃₁) + (2.22xY ₄₀₃) + (1.48xY ₉₀₀) + (-1.37xY ₄₁₅) + (4.53xY ₄₄₄) + (-3.03xY ₄₂₉) + (-13.3xY ₈₃₅) + (1.16xY ₄₁₂) + (19.8xY ₈₃₀) + (-5.27xY ₄₄₆) + (2.22xY ₄₄₈) + (1.84xY ₄₀₉) + (-13.3xY ₈₂₄) + (-1.90xY ₄₀₈) + (2.92xY ₄₂₇) + (5.64xY ₈₁₈)	0.74**
Sera	Genel	0.166	+ (3.09xY ₅₁₅) + (-0.353xY ₇₅₈)	0.23**
	Yaprak	0.246	+ (-6.03xY ₄₃₄) + (2.14xY ₄₂₀) + (24.3xY ₄₄₅) + (-15.5xY ₄₄₄) + (-10.7xY ₄₂₈) + (5.71xY ₄₂₉) + (-16.7xY ₆₇₂) + (14.7xY ₆₈₁) (24.5xY ₄₅₅) + (-14.5xY ₄₅₄) + (-26.5xY ₈₁₂) + (11.9xY ₇₉₄) + (13.8xY ₈₈₀) + (-15.6xY ₉₀₀) + (15.9xY ₈₄₄) + (-5.85xY ₄₃₇)	0.91**

**: P<0.01

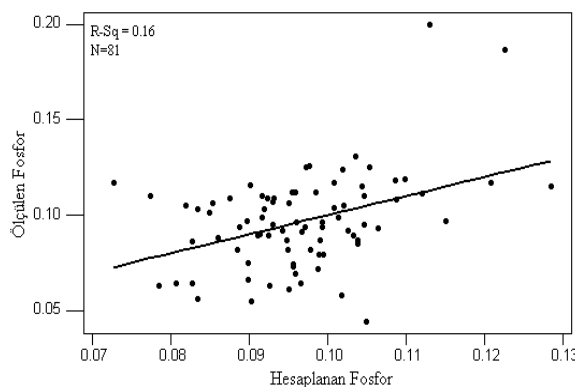
Sera koşullarındaki genel ölçüm sonuçlarına bakıldığından, fosfor düzeyleri için 1'i yeşil 1'i yakın kırmızı ötesi bölgede yer alan 2 adet dalga boyu belirlenmiş ancak regresyon eşitliği için düşük bir R^2 değeri (0.23) hesaplanmıştır (Çizelge 2). Bu nedenle eşitlik ile hesaplanan değerler ölçülen değerlerden farklı çıkmıştır (Şekil 3). Yaprak ölçümlerinde ise fosfor düzeyleri ile yansımaya değeri arasında önemli

çizelgeler hazırlanmıştır. Elementin düzeyini belirlemek için kullanılan formül “Element= Sabit+(Katsayı x Y_{Dalgaboyu})” şeklindedir. Eşitliklerde yer alan “Y” harfi birlikte yazıldığı dalga boyundaki yansımaya değerini ifade etmektedir (Örnek: “Y₆₆₄”, 664 nm'deki yansımaya değeridir). Sonuçlar değerlendirilirken, 400-500 nm dalga boyları arası mavi, 501-600 nm arası yeşil, 601-700 nm arası kırmızı ve 701-900 nm arası ise NIR (Yakın kırmızı ötesi) bölge olarak ele alınmıştır (Summy ve ark. 2003). Regresyon grafiklerindeki ölçülen ve hesaplanan değerlerin birimi yüzde (%) olarak verilmiştir.

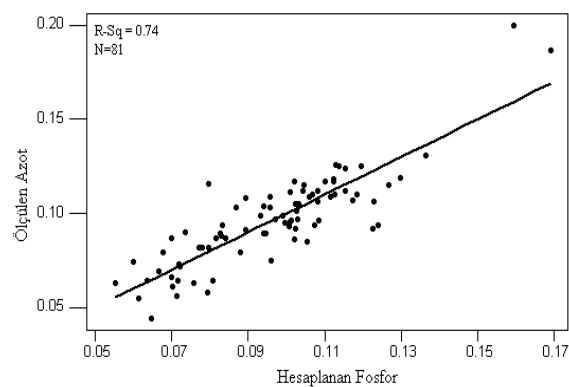
3.1 Fosfor Düzeyleri ile Dalga Boyları Arasındaki İlişkiler

Koyun yumağında fosfor ölçümüne ilişkin sonuçlar Çizelge 2'de görülmektedir. Tarla-genel ölçümünden, regresyon analizleri sonucu fosfor düzeyleri için kırmızı (601-700 nm) bölgeden 2 adet dalga boyu belirlenmiş ve oluşturulan regresyon eşitliğinin R^2 değeri düşük (0.16) çıkmıştır. Yine aynı çizelgede, yaprak ölçümlerinde fosfor için oluşturulan regresyon eşitliği ve bu eşitlige ait R^2 değeri (0.74) görülmektedir. Bu eşitlikte 11'i spektrumun mavi ve 8'i de yakın kırmızı ötesi bölgesinde bulunan 19 dalga boyu yer almaktadır. Regresyon grafikleri, tarla-genel ölçümü için Şekil 1 ve tarla-yaprak ölçümleri için Şekil 2'de görülmektedir.

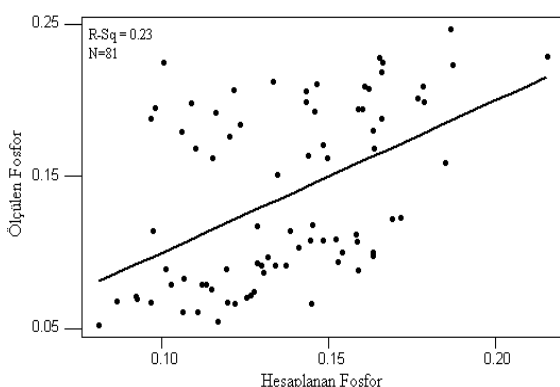
bir ilişki olduğu belirlenmiş ve R^2 değeri yüksek (0.91) bir regresyon eşitliği oluşturulmuştur. Bu eşitlik için kullanılan 16 dalga boyunun 9'u spektrumun mavi bölgesinde yer alırken, 2'si kırmızı ve 5'i yakın kırmızı ötesi bölgesinde yer almaktadır. Şekil 4'de regresyon eşitliği kullanılarak hesaplanan fosfor değerleri ile laboratuarda ölçülen değerlerin oldukça yakın olduğu görülmektedir.



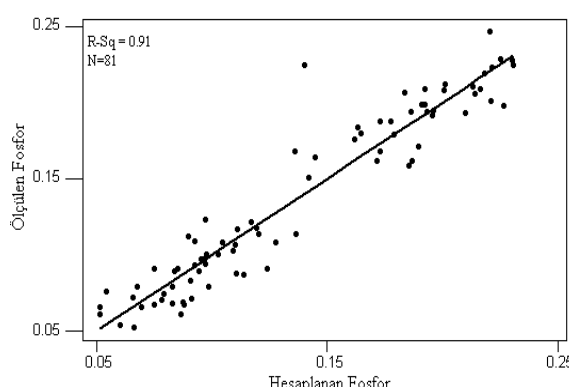
Şekil 1. Koyun yumağında laboratuarda ölçülen fosfor (P) değerleri ve yansımada değerleri kullanılarak hesaplanan fosfor değerleri arasındaki ilişki (Tarla-Genel)



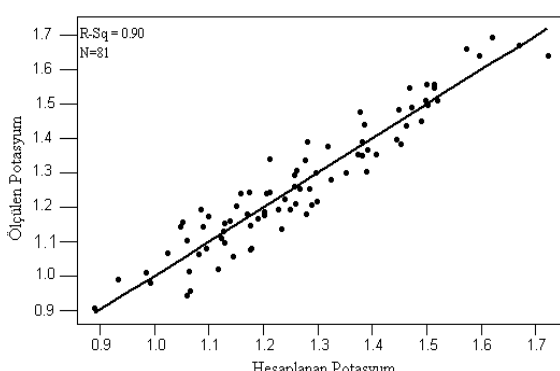
Şekil 2. Koyun yumağında laboratuarda ölçülen fosfor (P) değerleri ve yansımada değerleri kullanılarak hesaplanan fosfor değerleri arasındaki ilişki (Tarla-Yaprak).



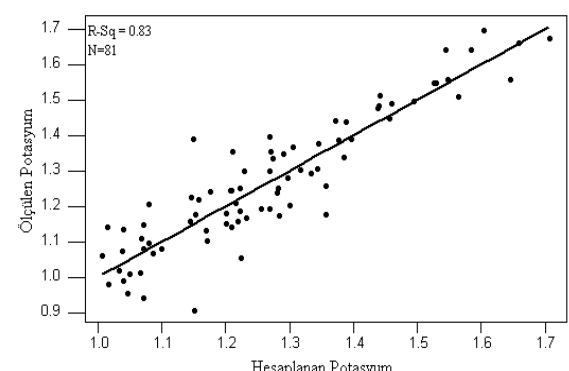
Şekil 3. Koyun yumağında laboratuarda ölçülen fosfor (P) değerleri ve yansımada değerleri kullanılarak hesaplanan fosfor değerleri arasındaki ilişki (Sera-Genel)



Şekil 4. Koyun yumağında laboratuarda ölçülen fosfor (P) değerleri ve yansımada değerleri kullanılarak hesaplanan fosfor değerleri arasındaki ilişki (Sera-Yaprak)



Şekil 5. Koyun yumağında laboratuarda ölçülen potasyum (K) değerleri ve yansımada değerleri kullanılarak hesaplanan fosfor değerleri arasındaki ilişki (Tarla-Genel)



Şekil 6. Koyun yumağında laboratuarda ölçülen potasyum (K) değerleri ve yansımada değerleri kullanılarak hesaplanan fosfor değerleri arasındaki ilişki (Tarla-Yaprak)

3.2. Potasyum Düzeyleri ile Dalga Boyları Arasındaki İlişkiler

Tarla denemesi genel ölçümlerinde Çizelge 3'de görüldüğü gibi, stepwise analizi sonucu 26 tane (16 mavi, 6 kırmızı ve 4 yakın kızıl ötesi) dalga boyundaki yansımada değerlerinin potasyum düzeyleriyle ilişkili olduğu belirlenmiş ve bu dalga boyları ile bir

regresyon eşitliği oluşturulmuştur. Oluşturulan eşitliğin regresyon katsayısı oldukça yüksek (0.90) çıkmış, bu nedenle eşitlikle hesaplanan potasyum değerleri ile laboratuvar ölçümleri sonucu belirlenen değerler birbirine çok yakın çıkmıştır. Bu durum Şekil 5'deki regresyon grafiğinde de görülmektedir. Tarla yaprak ölçüm sonuçlarına göre ise, potasyum

Çizelge 3. Koyun yumağında tarla ve sera koşullarında potasyum (K) düzeyleri için regresyon eşitlikleri ve R^2 değerleri

		Sabit	Katsayı x Dalga Boyu Yansıma Değerleri	R^2
Tarla	Genel	1.98	+ (-52.6xY ₆₈₀) + (164xY ₄₀₂) + (-143xY ₄₄₆) + (152xY ₄₀₉) (245xY ₈₃₁) + (-123xY ₈₆₁) + (-278xY ₄₆₉) + (329xY ₄₈₁) + (-594xY ₄₆₅) + (226xY ₄₃₅) + (-75.7xY ₇₆₀) + (-95.6xY ₄₅₅) + (148xY ₄₆₆) + (-171xY ₄₀₀) + (-215xY ₄₁₆) + (215xY ₄₄₂) (368xY ₄₆₄) + (208xY ₆₈₇) + (-252xY ₆₄₇) + (181xY ₄₁₄) + (-48.9xY ₈₈₂) + (-124xY ₄₁₇) + (138xY ₆₃₇) + (-139xY ₆₂₄) + (60.1xY ₆₁₆) + (-95.7xY ₄₂₄)	0.90**
	Yaprak	0.108	+ (-60.5xY ₆₁₂) + (-1.58xY ₄₀₅) + (6.20xY ₇₀₅) + (-74.3xY ₄₄₇) + (-3.6xY ₄₈₂) + (32.6xY ₄₂₄) + (1.8xY ₄₆₈) + (73.3xY ₄₄₀) (14.4xY ₄₅₁) + (3.6xY ₄₇₉) + (-25.5xY ₆₈₇) + (159xY ₆₂₄) + (-61.0xY ₆₀₂) + (-119xY ₆₂₁) + (59.9xY ₄₉₄) + (-47.4xY ₄₄₁) + (-22.9xY ₄₂₇) + (-3.50xY ₅₀₃) + (96.7xY ₅₅₇) + (-7.9xY ₅₇₂) + (-98.3xY ₅₄₀) + (109xY ₆₂₈) + (44.8xY ₅₄₂) + (-69.9xY ₅₉₇) + (-49.6xY ₄₅₂) + (38.2xY ₄₇₀) + (3.56xY ₇₁₃)	0.83**
Sera	Genel	1.17	+ (75.5xY ₈₂₀) + (190xY ₈₆₁) + (-234xY ₈₈₉) + (-86.0xY ₈₅₂) + (135xY ₈₁₉) + (216xY ₈₉₀) + (81.3xY ₇₉₈) + (-140xY ₈₄₄) (173xY ₈₄₅) + (119xY ₈₇₉) + (254xY ₆₆₆) + (-241xY ₆₈₃) + (-155xY ₈₁₂) + (-123xY ₈₃₁) + (-103xY ₈₇₇) + (-86.9xY ₈₅₀) + (-60.4xY ₈₉₁)	0.90**
	Yaprak		Herhangi bir dalga boyu belirlenememiştir	

**: P<0.01

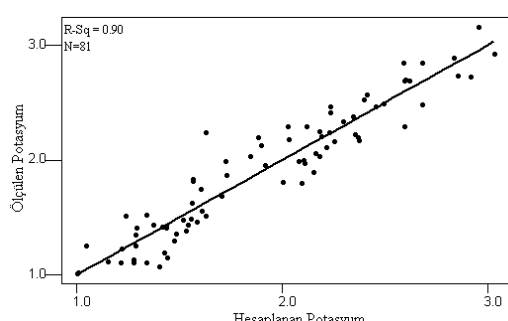
düzeyleri için 13 mavi, 6 yeşil, 6 kırmızı ve 2 yakın kızıl ötesi olmak üzere toplam 27 adet dalga boyu belirlenmiştir. Belirlenen dalga boyları ile oluşturulan regresyon eşitliğinin R^2 değeri 0.83'tür. Regresyon eşitliği ile hesaplanan potasyum değerleri ile laboratuar analizleri sonucu belirlenen potasyum değerleri arasındaki ilişki ve en iyi regresyon eğrisi Şekil 6'da görülmektedir.

Sera koşullarında yürütülen genel ve yaprak ölçüm sonuçları yine Çizelge 3'de görülmektedir. Genel ölçümelerde potasyum düzeylerini belirlemek için R^2 değeri yüksek (0.90) olan bir eşitlik oluşturulmuştur. Bu eşitlik için seçilen 17 dalga boyunun 2'si spektrumun kırmızı bölgesinde yer alırken, 15 tanesi yakın kızıl ötesi bölgede yer almaktadır. Bu eşitlik ile hesaplanan potasyum düzeylerinin ölçülen değerlere oldukça yakın olduğu Şekil 7'deki regresyon grafiğinde görülmektedir.

Sera koşullarında yetişirilen bitkilerdeki yaprak ölçümelerinde ise potasyum düzeyleri ile yansımalar arasında herhangi bir ilişki belirlenmemiştir.

4. TARTIŞMA

Çalışmada koyun yumağında fosfor düzeylerini belirleyebilmek amacıyla oluşturulan eşitliklerde çoğunlukla mavi ve yakın kızıl ötesi bölgeden dalga boyları yer almıştır. Bitkilerde fosfor eksikliğinin en önemli sonuçlarından birisi antosian birikimidir. Antosian spektrumun mavi ve kırmızı bölgelerindeki ışığı yansıtırken yeşil bölgedeki ışığı absorbe etmektedir (Salisbury ve Ross, 1992). Biolley ve Jay (1993), antosian'ın 400-580 nm dalga boylarındaki yansımaları etkilediğini bildirmiştir. Fosfor ayrıca enzimlerin yapısında yer alan ve organlar için gerekli bir elementtir. Bu nedenle fosfor bitkilerde hem fotosentetik olaylar için hem de doku kompozisyonları için gereklidir. Bundan dolayı da elektromanyetik spektrumun görünür bölgesindeki (400-700 nm) absorbsiyon bandları ile ilişkilidir (Albayrak, 2008). Yapılan bazı çalışmalarda bitkilerin fosfor düzeyleri yansıtma değerleri kullanılarak belirlenmeye çalışılmıştır (Bögerekçi ve ark., 2005; Mutanga ve ark., 2004). Osborne ve ark. (2002), misirda fosfor içeriğini tahmin etmek için spektrumun mavi bölgesinin önemli olduğunu ve 440 ile 445 nm'lerdeki yansıtma değerlerinin fosfor düzeyleri ile ilişkili olduğunu belirlemiştir. Aynı çalışmada, ayrıca spektrumun yakın kızıl ötesi bölgesinde yer alan 730 nm ve 930 nm dalga boylarındaki yansıtma değerlerinin fosfor tahminleri için kullanılabileceği bildirilmektedir. Kruse (2004), çim alanlarında fosfor konsantrasyonunu belirlemek amacıyla spektrumun mavi (480 nm), yeşil (565, 595 nm) ve kırmızı (650 nm) bölgelerinde



Şekil 7. Koyun yumağında laboratuarda ölçülen potasyum (K) değerleri ve yansıtma değerleri kullanılarak hesaplanan fosfor değerleri arasındaki ilişki (Sera-Genel)

ölçümler yapmış ve yansımıma değerleri ile fosfor konsantrasyonları arasında önemli ($R^2=0.73$) ilişkiler belirlemiştir. Al-Abbas ve ark. (1974), ise misir bitkisinde fosfor eksikliği durumunda spektrumun yakın kızıl ötesi bölgesinde yer alan 830 nm dalga boyundaki absorbsiyonlarda bir azalma belirlemiştir, dolayısıyla aynı bölgedeki yansımıma değerlerinde bir artış olmuştur. Jacop ve Lawlor (1991), misir, bugday ve aycıçeginde fosfor stresinin bitkilerdeki hücrelerde küçülmeye neden olduğunu ve dolayısıyla stres altında olmayan bitkilere göre birim yaprak alanındaki hücre sayısında artış meydana geldiğini bildirmektedirler. Bu durum, fosfor konsantrasyonlarının tahmininde spektrumun yakın kızıl ötesi bölgesindeki yansımaların önemini olduğunu göstermektedir. Çünkü spektrumun yakın kızıl ötesi bölgesindeki yansımalar dokuların içsel yapısı tarafından etkilenmektedir (Osborne ve ark. 2002).

Potasyum düzeylerini belirleyebilmek amacıyla oluşturulmuş regresyon eşitliklerinde ise spektrumun mavi ve yakın kızıl ötesi bölgelerinden oldukça fazla sayıda dalga boyu yer alırken, yeşil ve kırmızı bölgelerden de dalga boyları seçilmiştir. Ayala-Silva ve Beyl (2005), bugdayda potasyum eksikliği durumunda görünür ve yakın kızıl ötesi bölgesindeki yansımıma değerlerinin etkilendiğini bildirmiştir, serada ve büyümeye odasında yaptıkları çalışmalarında kontrol bitkiye oranla, sera koşullarında görünür bölgede yaklaşık %26, yakın kızıl ötesi bölgede ise yaklaşık %54'lük bir yansımıma artışı olduğunu belirlemiştir. Büyüme odasında ise görünür bölgedeki yansımıma %59 oranında artarken, yakın kızıl ötesi bölgesindeki yansımıma yaklaşık %2.7 azalma göstermiştir. Asma (*Vitis vinifera* L.)’da yapılan bir çalışma sonucu ise spektrumun mavi bölgesinde yer alan 495 nm ve kırmızı bölgesinde yer alan 625 nm dalga boylarındaki yansımaların potasyum eksiklikleri için karakteristik olduğu belirlenmiş ve 625 nm’ye yakın bölgelerdeki yansımıma özelliklerinin klorofil a, klorofil b ve diğer pigmentlerin ışık absorbsiyonu için ana yansımıma bandları oldukları bildirilmiştir (Smart ve ark. 2007). Bu durum Salisbury ve Ross (1992) tarafından da desteklenmektedir.

5. SONUÇ

Bu çalışma koyun yumağı bitkisinde fosfor ve potasyum düzeylerinin spektral yansımıma değerleri yardımıyla belirlenebilirliğini araştırmak amacıyla yürütülmüştür. Çalışma sonunda bitkinin fosfor ve potasyum düzeyleri ile mavi ve yakın kızıl ötesi bölgede yer alan dalga boyları arasında önemli ilişkiler belirlenmiştir. Sonuçlar koyun yumağında fosfor ve potasyum düzeylerinin uzaktan algılama çalışmaları ile tahmin edilebileceğini ve çalışmalarında özellikle mavi ve yakın kızıl ötesi bölgelerin dikkate alınması gerektiğini göstermektedir.

6. TEŞEKKÜR

Bu çalışma Yaşa ÖZYİĞİT'in doktora tezinden alınmıştır. Yazarlar çalışmayı 2005.03.0121.014 proje numarası ile "Doktora Tez Projesi" olarak destekleyen Akdeniz Üniversitesi Bilimsel Araştırma Projeleri Yönetim Birimine teşekkür eder.

7. KAYNAKLAR

- Aktaş, M. 2004. Bitkilerde beslenme bozuklukları ve tanımaları. Türkiye 3. Ulusal Gübre Kongresi, Tarım Sanayi Çevre, 11-13 Ekim 2004, Tokat. Cilt 2: 1118-1186.
- Al-Abbas, A.H., Barr, R., Hall, J.D., Crane, F.L., Baumgardner, M.F. 1974. Spectra of normal and nutrient deficient maize leaves. Agron. J., 66:16-20.
- Albayrak, S. 2008. Use of reflectance measurements for the detection of N, P, K, ADF and NDF contents in sainfoin pasture. Sensors, 8: 7275-7286.
- Ayala-Silva, T., Beyl, C.A. 2005. Changes spectral reflectance of wheat leaves in response to specific macronutrients deficiency. Adv. Space Res., 35: 305-317.
- Bakırıcıoğlu, D. 2009. Toprakta Makro ve Mikro Element Tayini. Trakya Üniversitesi Fen Bilimleri Enstitüsü Kimya Anabilim Dalı, Doktora Tezi, 134 sayfa.
- Beeri, O., Phillips, R., Hendrickson, J., Frank, A.B., Kronberg, S. 2007. Estimating forage quantity and quality using aerial hyperspectral imagery for Northern mixed-grass prairie. Remote Sens. Environ., 110: 216-225.
- Bolley, J.P., Jay, M. 1993. Anthocyanins in modern roses: Chemical and colorimetric features in relation to the colour range. J. Exp. Bot., 44: 1725-1734.
- Bögerekçi I., Lee, W.S., Jordan, J.D., Craig, J.C. 2005. Multispectral Image Analysis for Phosphorus Measurement in Bahia Grass. ASAE Paper No. 051067, Fl. Tampa, MI: ASAE.
- Brink, G.E., Rowe, D.E., Sistani, K.R., Adeli, A. 2003. Bermudagrass cultivar response to swine effluent application. Agron. J., 95:597-601.
- Carter, G.A., Knapp, A.K. 2001. Leaf optical properties in higher plants: linking spectral characteristics to stress and chlorophyll concentration. Am. J. Bot., 88 (4): 677-684.
- Castro-Esau, K.L., Sánchez-Azofeifa, G.A., Rivard, B. 2006. Comparison of spectral indices obtained using multiple spectroradiometers. Remote Sens. Environ., 103: 276-288.
- Graeff, S., Steffens, D., Schubert, S. 2001. Use of reflectance measurements for the early detection of N, P, Mg, and Fe deficiencies in corn (*Zea mays* L.). J. Plant Nutr. Soil Sc., 164: 445-450.
- Halgerson, J.L., Sheaffer, C.C., Martin, N.P., Peterson, P.R., Weston, S.J. 2004. Near-infrared reflectance spectroscopy prediction of leaf and mineral concentrations in alfalfa. Agron. J., 96: 344-351.
- Han, L., Rundquist, D.C. 2003. The spectral responses of *Ceratophyllum demersum* at varying depths in an experimental tank. Int. J. Remote Sens., 24(4): 859-864.
- Jacob, J., Lawlor, D.W. 1991. Stomatal and mesophyll limitations of photosynthesis in phosphate-deficient sunflower, maize and wheat plants. J. Exp. Bot. 42: 1003-1011.

- Kacar, B. 1977. Bitki Besleme. Ankara Üniversitesi Ziraat Fakültesi Yayınları: 637, Ders Kitabı: 200, Ankara, 317 ss.
- Karaca, S., Çimrin, K.M. 2002. Adı Fiğ (*Vicia sativa* L.)+Arpa (*Hordeum vulgare* L.) Karışımında Azot ve Fosforlu Gübrelemenin Verim ve Kaliteye Etkileri. Yüü Tar. Bil. Derg., 12(1): 47-52.
- Kruse, J.K. 2004. Remote sensing of moisture and nutrient stress in turfgrass systems. Ph.D Thesis, Iowa State University, Ames, Iowa, 69 pp.
- Kruse, J.K., Christians, N.E., Chaplin, M.H. 2006. Remote Sensing of Nitrogen Stress in Creeping Bentgrass. Agron. J., 98:1640-1645.
- Kokaly, R.F., Clark, R.N. 1999. Spectroscopic determination of leaf biochemistry using band-depth analysis of absorption features and stepwise multiple linear regression. Remote Sens. Environ., 67(3): 267-287.
- Li, B., Liew, O.W., Asundi, A.K. 2006. Pre-visual detection of iron and phosphorus deficiency by transformed reflectance spectra. J. Photoch. Photobio. B., 85: 131-139.
- Lin, Y., Liquan, Z. 2006. Identification of the spectral characteristics of submerged plant *Vallisneria spiralis*. Acta Ecol. Sin., 26(4):1005-1011.
- Mutanga, O., Skidmore, A.K., Prins, H.H.T. 2004. Predicting in situ pasture quality in the Kruger National Park, South Africa, using continuum-removed absorption features. Remote Sens. Environ., 89: 393-408.
- Osborne, S.L., Schepers, J.S., Francis, D.D., Schlemmer, M.R. 2002. Detection of phosphorous and nitrogen deficiencies in corn using spectral radiance measurements. Agron. J., 94: 1215-1221.
- Salisbury, F.B., Ross, C.W. 1992. Photomorphogenesis (Chapter 20), Plant Physiology. (4nd ed.) Wadsworth Publ. Co., Belmont, CA, p.438-463.
- Smart, D.R., Whiting, M.L., Stockert, C. 2007. Remote sensing of grape K deficiency symptoms using leaf level hyperspectral reflectance. Western Nutrient Management Conference. Vol. 7. Salt Lake City, UT. p.19-24.
- Summy, K.R., Little, C.R., Mazariegos, R.A., Everitt, J.H., Davis, M.R., French, J.V., Scott, A.W. 2003. Detecting stress in glasshouse plants using color infrared imagery: a potential new application for remote sensing. Subtrop. Plant Sci., 55: 51-58.
- Whitehead, D.C. 2000. Nutrient Elements in Grassland : Soil-Plant-Animal Relationships. CABI Publishing, Wallingford, 383 pp.
- Wright, D.L., Rasmussen, V.P., Ramsey, R.D. 2005. Comparing the Use of Remote Sensing with Traditional Techniques to Detect Nitrogen Stress in Wheat. Geocarto Int., 20(1): 63-68.
- Yıldız, N., Bilgin, N. 2008. Erzurum Ovası Topraklarının Fosfor ve Potasyum Durumunun Neubauer Fide Yöntemi ile Belirlenmesi. Atatürk Univ. Zir. Fak. Derg., 39 (2): 159-165.
- Zhao, D., Starks, P.J., Brown, M.A., Phillips, W.A., Coleman, S.W. 2007. Assessment of forage biomass and quality parameters of bermudagrass using proximal sensing of pasture canopy reflectance. J. Jap. Soc. Grassland Sci., 53:39-49